

Série VLP :

C'est une inductance de puissance montée en surface, pour les blocs d'alimentation avec une construction de chemin magnétique ouvert, basée sur un noyau tambour de faible hauteur (vertical). Les bornes utilisateur sont des contacts formés en cuivre sur le bas du noyau tambour (avec placage en étain). Utilise des bobinages croisés et accepte des courants élevés.

Série SLF :

Les inductances sans plomb pour courant élevé de la série SLF ont été développées pour le montage en surface des circuits d'alimentation. Le matériau de noyau de ferrite haute performance et le profil compact assurent des caractéristiques supérieures et une fiabilité élevée. **Caractéristiques :** • Type compact monté en surface • Type à blindage magnétique pour l'assemblage haute densité • Fournie sur bande de support gaufrée pour les machines d'assemblage automatique • Seul le brasage par refusion est applicable **Caractéristiques :** formats SLF6028, SLF7032 et SLF7045 : température de fonctionnement comprise entre -20 et 85 °C ; format SLF10145 : température de fonctionnement comprise entre -20 et 90 °C ; formats 12565 et 12575 : température de fonctionnement comprise entre -20 et 105 °C

Série RLF :

Cette série d'inducteurs est conçue pour les circuits de puissance nécessitant un profil compact, une faible inductance et un courant important, l'application typique étant les circuits utilisés dans les PC portables. **Caractéristiques :** avec une hauteur de seulement 4,5 mm et avec ces caractéristiques de superposition de courant continu, ces inducteurs permettent de réduire la résistance c.c. à une valeur 20 à 50 % plus basse que les autres produits TDK sur le marché. **Applications :** bobines d'arrêt dans les circuits de puissance d'ordinateurs portables, LCD, DVD, appareils électroniques de loisirs, etc. **Spécifications :** • Plage de températures de fonctionnement : -20 à 105 °C • Plage de

température de stockage : -40 à 105 °C

Série SPM :

Caractéristiques : • Compacte, faible encombrement • Capable de supporter des puissances élevées • Faible perte en cuivre • Grande plage de températures d'utilisation

Série VLCF :

Caractéristiques : • Taille miniature • Usage générique pour ligne de convertisseur c.c. à c.c. portable • La conception robuste du blindage magnétique assure une bonne protection EMC en actualisant la haute résolution **Spécifications :** • Plage de températures de fonctionnement : -40 à 105 °C (y compris l'élevation automatique de la température)

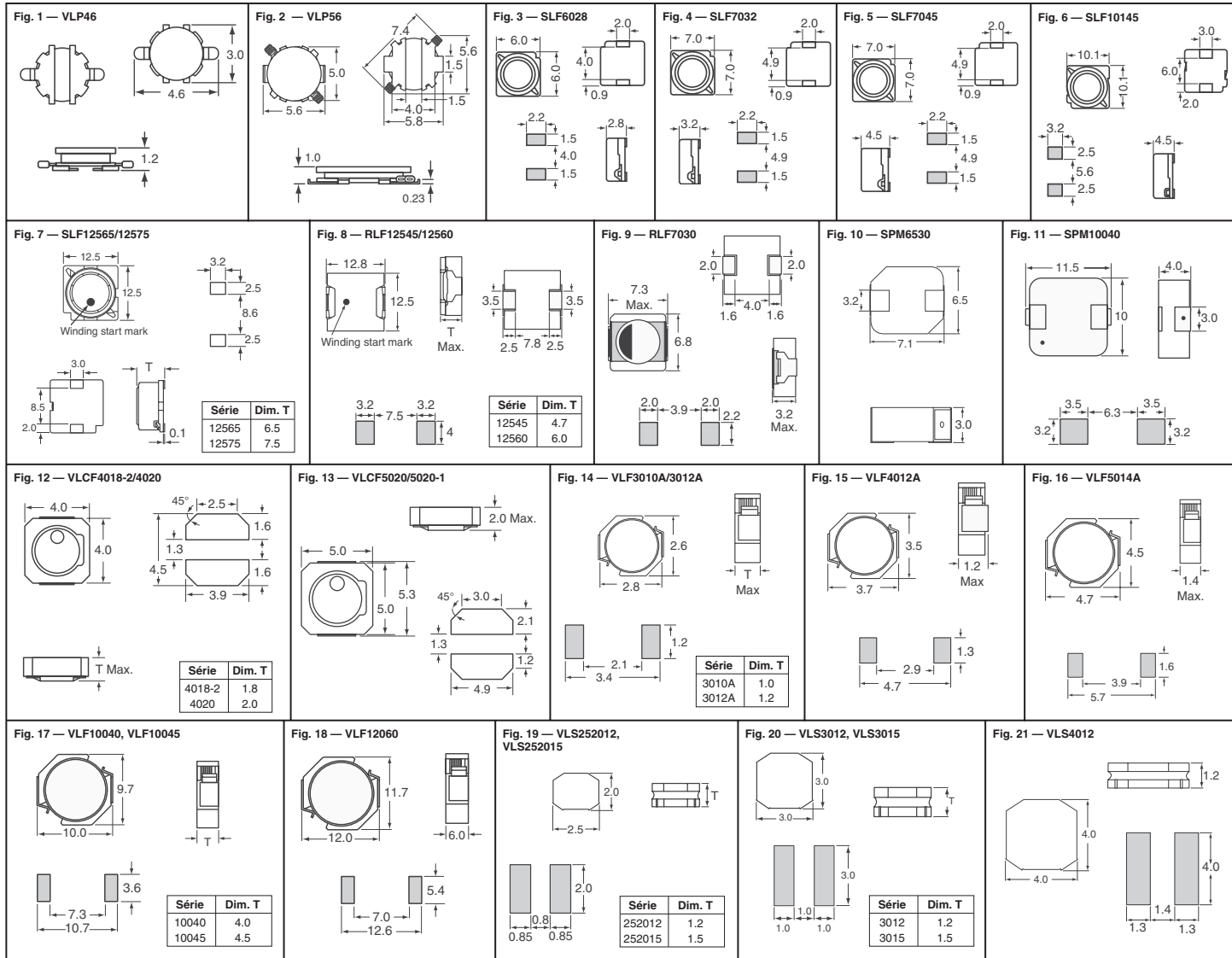
Série VLF :

Caractéristiques : • Ces bobines d'inductance compactes, pour la mesure sur ligne électrique, aux dimensions de 2,6 de long x 2,8 mm de large et 1 mm de haut, sont sensiblement plus petites que celles présentant des caractéristiques comparables. • Elles ont une faible résistance de bobine, ce qui les rend adaptées aux forts courants (ex. 0,7 A à 0,24 Ω) • Elles ont un excellent blindage **Applications :** • Pour téléphones mobiles, lecteurs de disques durs et DSC **Spécifications :** • Plage de températures de fonctionnement : -40 à 105 °C (y compris l'élevation automatique de la température)

Série VLS :

Caractéristiques : • Taille miniature • La conception robuste du blindage magnétique assure une bonne protection EMC en actualisant la haute résolution **Applications :** • Usage générique pour ligne de convertisseur c.c. à c.c. portable • DVC • DCS • PDA • Ecrans LCD • Téléphones cellulaires • Disques durs **Spécifications :** • Plage de températures de fonctionnement : -40 à 105 °C (y compris l'élevation automatique de la température)

Dimensions en mm



Inductance (µH)	Tolérance des valeurs d'inductance	Fréquence de test (kHz)	Rés. c.c. maximum (Ω)	Courant nominal (A)	N° de référence Digi-Key	Prix unitaire de bande coupée			N° de référence Digi-Key	Prix de bande et bobine 3 000	N° de référence TDK
						1	10	100			
Fig. 1 — Série VLP46											
1.0	±20%	100	0.11	2.30	445-1916-1-ND	1.61	1.49	1.24	445-1916-2-ND	445.19/M	VLP4612T-1R0M1R5
1.8	±20%	100	0.14	1.70	445-1917-1-ND	1.61	1.49	1.24	445-1917-2-ND	445.19/M	VLP4612T-1R8M1R3
2.5	±20%	100	0.17	1.40	445-1919-1-ND	1.61	1.49	1.24	445-1919-2-ND	445.19/M	VLP4612T-2R5M1R1
3.3	±20%	100	0.26	0.90	445-1920-1-ND	1.61	1.49	1.24	445-1920-2-ND	445.19/M	VLP4612T-3R3MR85
4.7	±20%	100	0.28	0.88	445-1921-1-ND	1.61	1.49	1.24	445-1921-2-ND	445.19/M	VLP4612T-4R7MR72
6.8	±20%	100	0.38	0.77	445-1922-1-ND	1.61	1.49	1.24	445-1922-2-ND	445.19/M	VLP4612T-6R8MR67
10.0	±20%	100	0.62	0.59	445-1914-1-ND	1.61	1.49	1.24	445-1914-2-ND	445.19/M	VLP4612T-100MR52
15.0	±20%	100	0.96	0.45	445-1915-1-ND	1.61	1.49	1.24	445-1915-2-ND	445.19/M	VLP4612T-150MR42
22.0	±20%	100	1.42	0.39	445-1918-1-ND	1.61	1.49	1.24	445-1918-2-ND	445.19/M	VLP4612T-220MR34
Fig. 2 — Série VLP56											
2.7	±20%	100	0.17	1.26	445-1926-1-ND	2.13	1.98	1.65	445-1926-2-ND	591.55/M	VLP5610T-2R7M1R0
4.7	±20%	100	0.24	1.08	445-1929-1-ND	2.13	1.98	1.65	445-1929-2-ND	591.55/M	VLP5610T-4R7MR90
6.8	±20%	100	0.30	0.90	445-1930-1-ND	2.13	1.98	1.65	445-1930-2-ND	591.55/M	VLP5610T-6R8MR80
10.0	±20%	100	0.45	0.72	445-1923-1-ND	2.13	1.98	1.65	445-1923-2-ND	591.55/M	VLP5610T-100MR65
15.0	±20%	100	0.71	0.63	445-1924-1-ND	2.13	1.98	1.65	445-1924-2-ND	591.55/M	VLP5610T-150MR52
22.0	±20%	100	0.96	0.50	445-1925-1-ND	2.13	1.98	1.65	445-1925-2-ND	591.55/M	VLP5610T-220MR45
33.0	±20%	100	1.47	0.41	445-1927-1-ND	2.13	1.98	1.65	445-1927-2-ND	591.55/M	VLP5610T-330MR36
47.0	±20%	100	1.93	0.36	445-1928-1-ND	2.13	1.98	1.65	445-1928-2-ND	591.55/M	VLP5610T-470MR29

† Plage de températures de fonctionnement : -40 à 125 °C

(suite)

Digi-Reel® La plupart des composants à découper à technologie CMS sont disponibles sur une Digi-Reel®. Pour connaître la référence bobine Digi-Reel, modifier 1-ND en 6-ND ou CT-ND en DKR-ND. Voir les services Digi-Key® en page 2 pour plus d'informations.

Inductance (µH)	Tolérance des valeurs d'inductance	Fréquence de test (kHz)	Rés. c.c. nominale (Ω) ±20%	Courant nominal (A)	N° de référence Digi-Key	Prix unitaire de bande coupée			N° de référence Digi-Key	Bande et bobine		N° de référence TDK
						1	10	100		Qté	Prix	
Fig. 3 — Série SLF6028												
4.7	±20%	100	0.0284	1.6	445-1995-1-ND	2.31	1.93	1.55	445-1995-2-ND	1,000	674.42	SLF6028T-4R7M1R6-PF
6.8	±20%	100	0.0354	1.5	445-1997-1-ND	2.31	1.93	1.55	445-1997-2-ND	1,000	674.42	SLF6028T-6R8M1R5-PF
10	±20%	100	0.0532	1.3	445-1989-1-ND	2.31	1.93	1.55	445-1989-2-ND	1,000	674.42	SLF6028T-100M1R3-PF
15	±20%	100	0.0745	1.0	445-1991-1-ND	2.31	1.93	1.55	445-1991-2-ND	1,000	674.42	SLF6028T-150M1R0-PF
22	±20%	100	0.104	0.77	445-1992-1-ND	2.31	1.93	1.55	445-1992-2-ND	1,000	674.42	SLF6028T-220MR77-PF
33	±20%	100	0.148	0.69	445-1993-1-ND	2.31	1.93	1.55	445-1993-2-ND	1,000	674.42	SLF6028T-330MR69-PF
47	±20%	100	0.21	0.59	445-1994-1-ND	2.31	1.93	1.55	445-1994-2-ND	1,000	674.42	SLF6028T-470MR59-PF
68	±20%	100	0.29	0.5	445-1996-1-ND	2.31	1.93	1.55	445-1996-2-ND	1,000	674.42	SLF6028T-680MR50-PF
100	±20%	100	0.43	0.42	445-1990-1-ND	2.31	1.93	1.55	445-1990-2-ND	1,000	674.42	SLF6028T-101MR42-PF
Fig. 4 — Série SLF7032												
3.3	±20%	100	0.023	1.9	445-2007-1-ND	.98	.82	.66	445-2007-2-ND	1,000	286.07	SLF7032T-3R3M1R9-2-PF
4.7	±20%	100	0.03	1.7	445-2010-1-ND	.98	.82	.66	445-2010-2-ND	1,000	286.07	SLF7032T-4R7M1R7-2-PF
6.8	±20%	100	0.041	1.6	445-2013-1-ND	.98	.82	.66	445-2013-2-ND	1,000	286.07	SLF7032T-6R8M1R6-2-PF
10	±20%	100	0.053	1.4	445-1998-1-ND	.98	.82	.66	445-1998-2-ND	1,000	286.07	SLF7032T-150M1R4-2-PF
15	±20%	100	0.075	1.1	445-2001-1-ND	.98	.82	.66	445-2001-2-ND	1,000	286.07	SLF7032T-150M1R1-2-PF
22	±20%	100	0.11	0.96	445-2003-1-ND	.98	.82	.66	445-2003-2-ND	1,000	286.07	SLF7032T-220MR96-2-PF
33	±20%	100	0.16	0.75	445-2005-1-ND	.98	.82	.66	445-2005-2-ND	1,000	286.07	SLF7032T-330MR75-2-PF
47	±20%	100	0.24	0.67	445-2008-1-ND	.98	.82	.66	445-2008-2-ND	1,000	286.07	SLF7032T-470MR67-2-PF
68	±20%	100	0.31	0.59	445-2011-1-ND	.98	.82	.66	445-2011-2-ND	1,000	286.07	SLF7032T-680MR59-2-PF
100	±20%	100	0.45	0.45	445-1999-1-ND	.98	.82	.66	445-1999-2-ND	1,000	286.07	SLF7032T-101MR45-2-PF
150	±20%	100	0.65	0.37	445-2002-1-ND	.98	.82	.66	445-2002-2-ND	1,000	286.07	SLF7032T-151MR37-2-PF
220	±20%	100	1.05	0.29	445-2004-1-ND	.98	.82	.66	445-2004-2-ND	1,000	286.07	SLF7032T-221MR29-2-PF
330	±20%	100	1.67	0.22	445-2006-1-ND	.98	.82	.66	445-2006-2-ND	1,000	286.07	SLF7032T-331MR22-2-PF
470	±20%	100	2.05	0.2	445-2009-1-ND	.98	.82	.66	445-2009-2-ND	1,000	286.07	SLF7032T-471MR20-2-PF
680	±20%	100	3.15	0.16	445-2012-1-ND	.98	.82	.66	445-2012-2-ND	1,000	286.07	SLF7032T-681MR16-2-PF
1000	±20%	100	4.78	0.13	445-2000-1-ND	.98	.82	.66	445-2000-2-ND	1,000	286.07	SLF7032T-102MR13-2-PF
Fig. 5 — Série SLF7045												
3.3	±20%	100	0.02	2.5	445-2023-1-ND	1.11	.93	.74	445-2023-2-ND	1,000	323.13	SLF7045T-3R3M2R5-PF
3.3	±20%	100	0.028	2.2	445-3866-1-ND‡	1.12	.94	.75	445-3866-2-ND‡	1,000	326.10	SLF7045T-3R3M2R2-H
4.7	±20%	100	0.03	2	445-2026-1-ND	1.11	.93	.74	445-2026-2-ND	1,000	323.13	SLF7045T-4R7M2R0-PF
4.7	±20%	100	0.031	2.1	445-3867-1-ND‡	1.12	.94	.75	445-3867-2-ND‡	1,000	326.10	SLF7045T-4R7M2R1-H
6.8	±20%	100	0.039	1.7	445-2029-1-ND	1.11	.93	.74	445-2029-2-ND	1,000	323.13	SLF7045T-6R8M1R7-PF
6.8	±20%	100	0.039	1.9	445-3868-1-ND‡	1.12	.94	.75	445-3868-2-ND‡	1,000	326.10	SLF7045T-6R8M1R9-H
10	±20%	100	0.036	1.3	445-2014-1-ND	1.11	.93	.74	445-2014-2-ND	1,000	323.13	SLF7045T-100M1R3-PF
10	±20%	100	0.047	1.8	445-3869-1-ND‡	1.12	.94	.75	445-3869-2-ND‡	1,000	326.10	SLF7045T-100M1R8-H
15	±20%	100	0.052	1.1	445-2017-1-ND	1.11	.93	.74	445-2017-2-ND	1,000	323.13	SLF7045T-150M1R1-PF
15	±20%	100	0.068	1.46	445-3870-1-ND‡	1.12	.94	.75	445-3870-2-ND‡	1,000	326.10	SLF7045T-150M1R5-H
22	±20%	100	0.061	0.9	445-2019-1-ND	1.11	.93	.74	445-2019-2-ND	1,000	323.13	SLF7045T-220MR90-PF
22	±20%	100	0.082	1.25	445-3871-1-ND‡	1.12	.94	.75	445-3871-2-ND‡	1,000	326.10	SLF7045T-220M1R3-H
33	±20%	100	0.096	0.82	445-2021-1-ND	1.11	.93	.74	445-2021-2-ND	1,000	323.13	SLF7045T-330MR82-PF
33	±20%	100	0.12	1.1	445-3872-1-ND‡	1.12	.94	.75	445-3872-2-ND‡	1,000	326.10	SLF7045T-330M1R1-H
47	±20%	100	0.125	0.75	445-2024-1-ND	1.11	.93	.74	445-2024-2-ND	1,000	323.13	SLF7045T-470MR75-PF
47	±20%	100	0.18	0.9	445-3884-1-ND‡	1.12	.94	.75	445-3884-2-ND‡	1,000	326.10	SLF7045T-470MR90-H
68	±20%	100	0.175	0.6	445-2027-1-ND	1.11	.93	.74	445-2027-2-ND	1,000	323.13	SLF7045T-680MR60-PF
68	±20%	100	0.27	0.75	445-3873-1-ND‡	1.12	.94	.75	445-3873-2-ND‡	1,000	326.10	SLF7045T-680MR75-H
100	±20%	100	0.25	0.5	445-2015-1-ND	1.11	.93	.74	445-2015-2-ND	1,000	323.13	SLF7045T-101MR50-PF
100	±20%	100	0.39	0.6	445-3885-1-ND‡	1.12	.94	.75	445-3885-2-ND‡	1,000	326.10	SLF7045T-101MR60-H
150	±20%	100	0.34	0.4	445-2018-1-ND	1.11	.93	.74	445-2018-2-ND	1,000	323.13	SLF7045T-151MR40-PF
150	±20%	100	0.55	0.5	445-3874-1-ND‡	1.12	.94	.75	445-3874-2-ND‡	1,000	326.10	SLF7045T-151MR50-H
220	±20%	100	0.52	0.33	445-2020-1-ND	1.11	.93	.74	445-2020-2-ND	1,000	323.13	SLF7045T-221MR33-PF
220	±20%	100	0.83	0.4	445-3875-1-ND‡	1.12	.94	.75	445-3875-2-ND‡	1,000	326.10	SLF7045T-221MR40-H
330	±20%	100	0.74	0.25	445-2022-1-ND	1.11	.93	.74	445-2022-2-ND	1,000	323.13	SLF7045T-331MR25-PF
330	±20%	100	1.15	0.35	445-3876-1-ND‡	1.12	.94	.75	445-3876-2-ND‡	1,000	326.10	SLF7045T-331MR35-H
470	±20%	100	1.05	0.22	445-2025-1-ND	1.11	.93	.74	445-2025-2-ND	1,000	323.13	SLF7045T-471MR22-PF
680	±20%	100	1.48	0.2	445-2028-1-ND	1.11	.93	.74	445-2028-2-ND	1,000	323.13	SLF7045T-681MR20-PF
1000	±20%	100	2.28	0.14	445-2016-1-ND	1.11	.93	.74	445-2016-2-ND	1,000	323.13	SLF7045T-102MR14-PF
Fig. 6 — Série SLF10145												
3.3	±30%	1	0.0161	3.7	445-3834-1-ND‡	1.52	1.28	1.02	445-3834-2-ND‡	500	222.34	SLF10145T-3R3N3R7-H
5.6	±20%	1	0.0220	3.2	445-3837-1-ND‡	1.52	1.28	1.02	445-3837-2-ND‡	500	222.34	SLF10145T-5R6M3R2-H
10	±20%	1	0.0364	2.5	445-1975-1-ND	1.49	1.25	1.00	445-1975-2-ND	500	217.15	SLF10145T-100M2R5-PF
10	±20%	1	0.0364	2.5	445-3824-1-ND‡	1.52	1.28	1.02	445-3824-2-ND‡	500	222.34	SLF10145T-100M2R5-H
15	±20%	1	0.0472	2.2	445-1978-1-ND	1.49	1.25	1.00	445-1978-2-ND	500	217.15	SLF10145T-150M2R2-PF
15	±20%	1	0.0472	2.2	445-3827-1-ND‡	1.52	1.28	1.02	445-3827-2-ND‡	500	222.34	SLF10145T-150M2R2-H
22	±20%	1	0.0591	1.9	445-1981-1-ND	1.49	1.25	1.00	445-1981-2-ND	500	217.15	SLF10145T-220M1R9-PF
22	±20%	1	0.0591	1.9	445-3830-1-ND‡	1.52	1.28	1.02	445-3830-2-ND‡	500	222.34	SLF10145T-220M1R9-H
33	±20%	1	0.0815	1.6	445-1983-1-ND	1.49	1.25	1.00	445-1983-2-ND	500	217.15	SLF10145T-330M1R6-PF
33	±20%	1	0.0815	1.6	445-3832-1-ND‡	1.52	1.28	1.02	445-3832-2-ND‡	500	222.34	SLF10145T-330M1R6-H
47	±20%	1	0.1	1.4	445-1985-1-ND	1.49	1.25	1.00	445-1985-2-ND	500	217.15	SLF10145T-470M1R4-PF
47	±20%	1	0.1	1.4	445-3835-1-ND‡	1.52	1.28	1.02	445-3835-2-ND‡	500	222.34	SLF10145T-470M1R4-H
68	±20%	1	0.14	1.2	445-1987-1-ND	1.49	1.25	1.00	445-1987-2-ND	500	217.15	SLF10145T-680M1R2-PF
68	±20%	1	0.14	1.2	445-3838-1-ND‡	1.52	1.28	1.02	445-3838-2-ND‡	500	222.34	SLF10145T-680M1R2-H
100	±20%	1	0.2	1.0	445-1976-1-ND	1.49	1.25	1.00	445-1976-2-ND	500	217.15	SLF10145T-101M1R0-PF
100	±20%	1	0.2	1.0	445-3825-1-ND‡	1.52	1.28	1.02	445-3825-2-ND‡	500	222.34	SLF10145T-101M1R0-H
150	±20%	1	0.35	0.79	445-1979-1-ND	1.49	1.25	1.00	445-1979-2-ND	500	217.15	SLF10145T-151MR79-PF
150	±20%	1	0.35	0.79	445-3828-1-ND‡	1.52	1.28	1.02	445-3828-2-ND‡	500	222.34	SLF10145T-151MR79-H
220	±20%	1	0.47	0.65	445-1982-1-ND	1.49	1.25	1.00	445-1982-			

Inductance (µH)	Tolérance des valeurs d'inductance	Fréquence de test (kHz)	Rés. c.c. nominale (Ω) ±20 %	Courant nominal (A)	N° de référence Digi-Key	Prix unitaire de bande coupée			N° de référence Digi-Key	Bande et bobine		N° de référence TDK
						1	10	100		Qté	Prix	
Fig. 7 — Série SLF12575T												
1.2	±30%	1	0.0051	8.2	445-3855-1-ND	2.80	2.33	1.87	445-3855-2-ND	500	407.83	SLF12575T-1R2N8R2-H
2.7	±30%	1	0.0074	7	445-3858-1-ND	2.80	2.33	1.87	445-3858-2-ND	500	407.83	SLF12575T-2R7N7R0-H
3.9	±30%	1	0.0104	6.7	445-3861-1-ND	2.80	2.33	1.87	445-3861-2-ND	500	407.83	SLF12575T-3R9N6R7-H
5.6	±30%	1	0.0116	6.3	445-3863-1-ND	2.80	2.33	1.87	445-3863-2-ND	500	407.83	SLF12575T-5R6N6R3-H
6.8	±30%	1	0.0131	5.9	445-3865-1-ND	2.80	2.33	1.87	445-3865-2-ND	500	407.83	SLF12575T-6R8N5R9-H
10	±20%	1	0.0156	5.4	445-3851-1-ND	2.80	2.33	1.87	445-3851-2-ND	500	407.83	SLF12575T-100M5R4-H
15	±20%	1	0.0184	4.7	445-3853-1-ND	2.80	2.33	1.87	445-3853-2-ND	500	407.83	SLF12575T-150M4R7-H
22	±20%	1	0.0263	4	445-3856-1-ND	2.80	2.33	1.87	445-3856-2-ND	500	407.83	SLF12575T-220M4R0-H
33	±20%	1	0.0395	3.2	445-3859-1-ND	2.80	2.33	1.87	445-3859-2-ND	500	407.83	SLF12575T-330M3R2-H
47	±20%	1	0.0528	2.7	445-3862-1-ND	2.80	2.33	1.87	445-3862-2-ND	500	407.83	SLF12575T-470M2R7-H
68	±20%	1	0.0778	2	445-3864-1-ND	2.80	2.33	1.87	445-3864-2-ND	500	407.83	SLF12575T-680M2R0-H
100	±20%	1	0.125	1.9	445-3852-1-ND	2.80	2.33	1.87	445-3852-2-ND	500	407.83	SLF12575T-101M1R9-H
150	±20%	1	0.175	1.5	445-3854-1-ND	2.80	2.33	1.87	445-3854-2-ND	500	407.83	SLF12575T-151M1R5-H
220	±20%	1	0.258	1.3	445-3857-1-ND	2.80	2.33	1.87	445-3857-2-ND	500	407.83	SLF12575T-221M1R3-H
330	±20%	1	0.34	1	445-3860-1-ND	2.80	2.33	1.87	445-3860-2-ND	500	407.83	SLF12575T-331M1R0-H
Fig. 8 — Série RLF12545												
1.9	±30%	100	0.0036	13	445-2948-1-ND	3.35	2.80	2.24	445-2948-2-ND	500	489.14	RLF12545T-1R9N100-PF
2.7	±30%	100	0.0045	12	445-2949-1-ND	3.35	2.80	2.24	445-2949-2-ND	500	489.14	RLF12545T-2R7N8R7-PF
4.2	±30%	100	0.0074	9.5	445-2950-1-ND	3.35	2.80	2.24	445-2950-2-ND	500	489.14	RLF12545T-4R2N6R5-PF
5.6	±30%	100	0.0085	8	445-2951-1-ND	3.35	2.80	2.24	445-2951-2-ND	500	489.14	RLF12545T-5R6N6R1-PF
7.8	±30%	100	0.0102	7	445-2952-1-ND	3.35	2.80	2.24	445-2952-2-ND	500	489.14	RLF12545T-7R8N5R4-PF
10	±20%	100	0.0124	6	445-2947-1-ND	3.35	2.80	2.24	445-2947-2-ND	500	489.14	RLF12545T-100M5R1-PF
Fig. 8 — Série RLF12560												
1.0	±30%	100	0.0028	18.5	445-2954-1-ND	3.56	2.97	2.38	445-2954-2-ND	500	518.79	RLF12560T-1R0N140
1.9	±30%	100	0.0036	15.6	445-2955-1-ND	3.56	2.97	2.38	445-2955-2-ND	500	518.79	RLF12560T-1R9N120
2.7	±30%	100	0.0045	14.4	445-2956-1-ND	3.56	2.97	2.38	445-2956-2-ND	500	518.79	RLF12560T-2R7N110
4.2	±30%	100	0.0074	10.2	445-2957-1-ND	3.56	2.97	2.38	445-2957-2-ND	500	518.79	RLF12560T-4R2N100
5.6	±30%	100	0.0085	9.7	445-2958-1-ND	3.56	2.97	2.38	445-2958-2-ND	500	518.79	RLF12560T-5R6N9R2
7.8	±30%	100	0.0102	8.2	445-2959-1-ND	3.56	2.97	2.38	445-2959-2-ND	500	518.79	RLF12560T-7R8N8R2
10	±20%	100	0.0124	7.5	445-2953-1-ND	3.56	2.97	2.38	445-2953-2-ND	500	518.79	RLF12560T-100M7R5
Fig. 9 — Série RLF7030												
1.0	±30%	100	0.0073	7.9	445-2960-1-ND	2.44	2.04	1.63	445-2960-2-ND	1,000	711.48	RLF7030T-1R0N6R4
1.5	±30%	100	0.0080	6.5	445-2961-1-ND	2.44	2.04	1.63	445-2961-2-ND	1,000	711.48	RLF7030T-1R5N6R1
2.2	±20%	100	0.0100	5.5	445-2962-1-ND	2.44	2.04	1.63	445-2962-2-ND	1,000	711.48	RLF7030T-2R2M5R4
3.3	±20%	100	0.0174	4.4	445-2963-1-ND	2.44	2.04	1.63	445-2963-2-ND	1,000	711.48	RLF7030T-3R3M4R1
4.7	±20%	100	0.0260	3.5	445-2964-1-ND	2.44	2.04	1.63	445-2964-2-ND	1,000	711.48	RLF7030T-4R7M3R4
6.8	±20%	100	0.0373	3.0	445-2965-1-ND	2.44	2.04	1.63	445-2965-2-ND	1,000	711.48	RLF7030T-6R8M2R8

‡ Plage de températures de fonctionnement : -40 à 125 °C

Inductance (µH)	Tolérance des valeurs d'inductance	Fréquence de test (kHz)	Rés. c.c. nominale (Ω)	Courant nominal (A)	N° de référence Digi-Key	Prix unitaire de bande coupée			N° de référence Digi-Key	Bande et bobine		N° de référence TDK
						1	10	100		Qté	Prix	
Fig. 10 — Série SPM6530												
0.25	±20%	100	2.1	23	445-3877-1-ND	1.78	1.49	1.19	445-3877-2-ND	1,000	519.21	SPM6530T-R25M230
0.47	±20%	100	3.3	17	445-3878-1-ND	1.78	1.49	1.19	445-3878-2-ND	1,000	519.21	SPM6530T-R47M170
0.68	±20%	100	4.9	14	445-3879-1-ND	1.78	1.49	1.19	445-3879-2-ND	1,000	519.21	SPM6530T-R68M140
1.0	±20%	100	7.1	12	445-3880-1-ND	1.78	1.49	1.19	445-3880-2-ND	1,000	519.21	SPM6530T-1R0M120
1.5	±20%	100	9.7	10	445-3881-1-ND	1.78	1.49	1.19	445-3881-2-ND	1,000	519.21	SPM6530T-1R5M100
Fig. 11 — Série SPM10040												
0.36	±20%	300	0.0011	17	445-3603-1-ND	1.34	1.19	1.04	445-3603-2-ND	500	259.61	SPM10040T-R36M170
0.56	±20%	300	0.0017	15	445-3604-1-ND	1.34	1.19	1.04	445-3604-2-ND	500	259.61	SPM10040T-R56M150
Fig. 12 — Série VLCF4018-2												
1.6	±30%	100	0.044	1.72	445-3171-1-ND	.65	.58	.51	445-3171-2-ND	1,000	252.41	VLCF4018T-1R6N1R7-2
2.2	±30%	100	0.052	1.44	445-3172-1-ND	.65	.58	.51	445-3172-2-ND	1,000	252.41	VLCF4018T-2R2N1R4-2
3.3	±30%	100	0.069	1.26	445-3173-1-ND	.65	.58	.51	445-3173-2-ND	1,000	252.41	VLCF4018T-3R3N1R2-2
4.7	±30%	100	0.088	1.07	445-3174-1-ND	.65	.58	.51	445-3174-2-ND	1,000	252.41	VLCF4018T-4R7N1R0-2
6.8	±30%	100	0.108	0.94	445-3175-1-ND	.65	.58	.51	445-3175-2-ND	1,000	252.41	VLCF4018T-6R8N9R4-2
10	±20%	100	0.163	0.74	445-3176-1-ND	.65	.58	.51	445-3176-2-ND	1,000	252.41	VLCF4018T-100MR74-2
15	±20%	100	0.233	0.59	445-3177-1-ND	.65	.58	.51	445-3177-2-ND	1,000	252.41	VLCF4018T-150MR59-2
22	±20%	100	0.321	0.49	445-3178-1-ND	.65	.58	.51	445-3178-2-ND	1,000	252.41	VLCF4018T-220MR49-2
33	±20%	100	0.469	0.42	445-3179-1-ND	.65	.58	.51	445-3179-2-ND	1,000	252.41	VLCF4018T-330MR42-2
47	±20%	100	0.661	0.34	445-3180-1-ND	.65	.58	.51	445-3180-2-ND	1,000	252.41	VLCF4018T-470MR34-2
Fig. 12 — Série VLCF4020												
1.8	±30%	100	0.046	1.97	445-3181-1-ND	.65	.58	.51	445-3181-2-ND	1,000	252.41	VLCF4020T-1R8N1R9
2.2	±30%	100	0.054	1.72	445-3182-1-ND	.65	.58	.51	445-3182-2-ND	1,000	252.41	VLCF4020T-2R2N1R7
3.3	±30%	100	0.071	1.52	445-3183-1-ND	.65	.58	.51	445-3183-2-ND	1,000	252.41	VLCF4020T-3R3N1R5
4.7	±30%	100	0.089	1.24	445-3184-1-ND	.65	.58	.51	445-3184-2-ND	1,000	252.41	VLCF4020T-4R7N1R2
6.8	±30%	100	0.119	1.05	445-3185-1-ND	.65	.58	.51	445-3185-2-ND	1,000	252.41	VLCF4020T-6R8N1R0
10	±20%	100	0.168	0.85	445-3186-1-ND	.65	.58	.51	445-3186-2-ND	1,000	252.41	VLCF4020T-100MR85
15	±20%	100	0.275	0.68	445-3187-1-ND	.65	.58	.51	445-3187-2-ND	1,000	252.41	VLCF4020T-150MR68
22	±20%	100	0.391	0.56	445-3188-1-ND	.65	.58	.51	445-3188-2-ND	1,000	252.41	VLCF4020T-220MR56
27	±20%	100	0.451	0.48	445-3189-1-ND	.65	.58	.51	445-3189-2-ND	1,000	252.41	VLCF4020T-270MR48
33	±20%	100	0.571	0.47	445-3190-1-ND	.65	.58	.51	445-3190-2-ND	1,000	252.41	VLCF4020T-330MR47
47	±20%	100	0.849	0.39	445-3191-1-ND	.65	.58	.51	445-3191-2-ND	1,000	252.41	VLCF4020T-470MR39
100	±20%	100	1.308	0.26	445-3192-1-ND	.65	.58	.51	445-3192-2-ND	1,000	252.41	VLCF4020T-101MR26
Fig. 13 — Série VLCF5020												
1.8	±30%	100	0.049	2.07	445-3193-1-ND	.69	.61	.54	445-3193-2-ND	500	133.40	VLCF5020T-1R8N2R0
2.7	±30%	100	0.058	1.76	445-3194-1-ND	.69	.61	.54	445-3194-2-ND	500	133.40	VLCF5020T-2R7N1R7
3.3	±30%	100	0.069	1.6	445-3195-1-ND	.69	.61	.54	445-3195-2-ND	500	133.40	VLCF5020T-3R3N1R6
4.7	±30%	100	0.079	1.4	445-3196-1-ND	.69	.61	.54	445-3196-2-ND	500	133.40	VLCF5020T-4R7N1R4
6.8	±30%	100	0.102	1.11	445-3197-1-ND	.69	.61	.54	445-3197-2-ND	500	133.40	VLCF5020T-6R8N1R1
10	±20%	100	0.151	0.87	445-3198-1-ND	.69	.61	.54	445-3198-2-ND	500	133.40	VLCF5020T-100MR87
15	±20%	100	0.214	0.71	445-3199-1-ND	.69	.61	.54	445-3199-2-ND	500	133.40	VLCF5020T-150MR71
22	±20%	100	0.311	0.58	445-3200-1-ND	.69	.61	.54	445-3200-2-ND	500	133.40	

Inductance (µH)	Tolérance des valeurs d'inductance	Fréquence de test (kHz)	Rés. c.c. nominale (Ω)	Courant nominal (A)	N° de référence Digi-Key	Prix unitaire de bande coupée			N° de référence Digi-Key	Bande et bobine		N° de référence TDK
						1	10	100		Qté	Prix	
6.8	±30%	100	0.138	1.39	445-3208-1-ND	.69	.61	.54	445-3208-2-ND	500	133.40	VLCF5020T-6R8N1R3-1
10	±20%	100	0.198	1.13	445-3209-1-ND	.69	.61	.54	445-3209-2-ND	500	133.40	VLCF5020T-100M1R1-1
15	±20%	100	0.292	0.90	445-3210-1-ND	.69	.61	.54	445-3210-2-ND	500	133.40	VLCF5020T-150MR90-1
22	±20%	100	0.413	0.75	445-3211-1-ND	.69	.61	.54	445-3211-2-ND	500	133.40	VLCF5020T-220MR75-1
33	±20%	100	0.597	1.62	445-3212-1-ND	.69	.61	.54	445-3212-2-ND	500	133.40	VLCF5020T-330MR62-1
47	±20%	100	0.875	0.51	445-3213-1-ND	.69	.61	.54	445-3213-2-ND	500	133.40	VLCF5020T-470MR51-1
Fig. 14 — Série VLF3010A												
1.5	±30%	100	0.068	1.2	445-3214-1-ND	.76	.68	.60	445-3214-2-ND	2,000	296.45/M	VLF3010AT-1R5N1R2
2.2	±20%	100	0.10	1.0	445-3215-1-ND	.76	.68	.60	445-3215-2-ND	2,000	296.45/M	VLF3010AT-2R2M1R0
3.3	±20%	100	0.15	0.87	445-3216-1-ND	.76	.68	.60	445-3216-2-ND	2,000	296.45/M	VLF3010AT-3R3MR87
4.7	±20%	100	0.24	0.70	445-3217-1-ND	.76	.68	.60	445-3217-2-ND	2,000	296.45/M	VLF3010AT-4R7MR70
6.8	±20%	100	0.34	0.61	445-3218-1-ND	.76	.68	.60	445-3218-2-ND	2,000	296.45/M	VLF3010AT-6R8MR61
10	±20%	100	0.58	0.49	445-3219-1-ND	.76	.68	.60	445-3219-2-ND	2,000	296.45/M	VLF3010AT-100MR49
15	±20%	100	0.75	0.40	445-3220-1-ND	.76	.68	.60	445-3220-2-ND	2,000	296.45/M	VLF3010AT-150MR40
22	±20%	100	1.3	0.33	445-3221-1-ND	.76	.68	.60	445-3221-2-ND	2,000	296.45/M	VLF3010AT-220MR33
Fig. 14 — Série VLF3012A												
1.5	±30%	100	0.059	1.2	445-3222-1-ND	.73	.65	.57	445-3222-2-ND	2,000	282.05/M	VLF3012AT-1R5N1R2
2.2	±20%	100	0.088	1.0	445-3223-1-ND	.73	.65	.57	445-3223-2-ND	2,000	282.05/M	VLF3012AT-2R2M1R0
3.3	±20%	100	0.11	0.87	445-3224-1-ND	.73	.65	.57	445-3224-2-ND	2,000	282.05/M	VLF3012AT-3R3MR87
4.7	±20%	100	0.16	0.74	445-3225-1-ND	.73	.65	.57	445-3225-2-ND	2,000	282.05/M	VLF3012AT-4R7MR74
6.8	±20%	100	0.23	0.59	445-3226-1-ND	.73	.65	.57	445-3226-2-ND	2,000	282.05/M	VLF3012AT-6R8MR59
10	±20%	100	0.36	0.49	445-3227-1-ND	.73	.65	.57	445-3227-2-ND	2,000	282.05/M	VLF3012AT-100MR49
15	±20%	100	0.54	0.41	445-3228-1-ND	.73	.65	.57	445-3228-2-ND	2,000	282.05/M	VLF3012AT-150MR41
22	±20%	100	0.66	0.33	445-3229-1-ND	.73	.65	.57	445-3229-2-ND	2,000	282.05/M	VLF3012AT-220MR33
33	±20%	100	1.1	0.27	445-3230-1-ND	.73	.65	.57	445-3230-2-ND	2,000	282.05/M	VLF3012AT-330MR27
47	±20%	100	1.9	0.22	445-3231-1-ND	.73	.65	.57	445-3231-2-ND	2,000	282.05/M	VLF3012AT-470MR22
Fig. 15 — Série VLF4012A												
1.5	±20%	100	0.069	1.8	445-3232-1-ND	.69	.61	.54	445-3232-2-ND	1,000	266.81	VLF4012AT-1R5M1R6
2.2	±20%	100	0.076	1.5	445-3233-1-ND	.69	.61	.54	445-3233-2-ND	1,000	266.81	VLF4012AT-2R2M1R5
3.3	±20%	100	0.1	1.3	445-3234-1-ND	.69	.61	.54	445-3234-2-ND	1,000	266.81	VLF4012AT-3R3M1R3
4.7	±20%	100	0.14	1.1	445-3235-1-ND	.69	.61	.54	445-3235-2-ND	1,000	266.81	VLF4012AT-4R7M1R1
6.8	±20%	100	0.2	0.96	445-3236-1-ND	.69	.61	.54	445-3236-2-ND	1,000	266.81	VLF4012AT-6R8MR96
10	±20%	100	0.3	0.80	445-3237-1-ND	.69	.61	.54	445-3237-2-ND	1,000	266.81	VLF4012AT-100MR79
15	±20%	100	0.46	0.63	445-3238-1-ND	.69	.61	.54	445-3238-2-ND	1,000	266.81	VLF4012AT-150MR63
22	±20%	100	0.71	0.52	445-3239-1-ND	.69	.61	.54	445-3239-2-ND	1,000	266.81	VLF4012AT-220MR51
33	±20%	100	1.2	0.44	445-3240-1-ND	.69	.61	.54	445-3240-2-ND	1,000	266.81	VLF4012AT-330MR39
47	±20%	100	2.0	0.36	445-3241-1-ND	.69	.61	.54	445-3241-2-ND	1,000	266.81	VLF4012AT-470MR30
Fig. 16 — Série VLF5014A												
4.7	±20%	100	0.12	1.7	445-3242-1-ND	1.07	.95	.84	445-3242-2-ND	1,000	415.03	VLF5014AT-4R7M1R1
6.8	±20%	100	0.16	1.4	445-3243-1-ND	1.07	.95	.84	445-3243-2-ND	1,000	415.03	VLF5014AT-6R8MR99
10	±20%	100	0.19	1.1	445-3244-1-ND	1.07	.95	.84	445-3244-2-ND	1,000	415.03	VLF5014AT-100MR92
15	±20%	100	0.28	0.97	445-3245-1-ND	1.07	.95	.84	445-3245-2-ND	1,000	415.03	VLF5014AT-150MR76
Fig. 17 — Série VLF10040												
1.0	±30%	100	0.0043	9.7	445-3556-1-ND	1.91	1.70	1.49	445-3556-2-ND	500	370.56	VLF10040T-1R0N9R7
1.5	±30%	100	0.0051	8.9	445-3557-1-ND	1.91	1.70	1.49	445-3557-2-ND	500	370.56	VLF10040T-1R5N8R9
2.2	±30%	100	0.0079	7.1	445-3558-1-ND	1.91	1.70	1.49	445-3558-2-ND	500	370.56	VLF10040T-2R2N7R1
3.3	±30%	100	0.0105	6.2	445-3559-1-ND	1.91	1.70	1.49	445-3559-2-ND	500	370.56	VLF10040T-3R3N6R2
4.7	±30%	100	0.0127	5.4	445-3560-1-ND	1.91	1.70	1.49	445-3560-2-ND	500	370.56	VLF10040T-4R7N5R4
6.8	±30%	100	0.0198	4.5	445-3561-1-ND	1.91	1.70	1.49	445-3561-2-ND	500	370.56	VLF10040T-6R8N4R5
10	±20%	100	0.028	3.8	445-3562-1-ND	1.91	1.70	1.49	445-3562-2-ND	500	370.56	VLF10040T-100M3R8
15	±20%	100	0.036	3.1	445-3563-1-ND	1.91	1.70	1.49	445-3563-2-ND	500	370.56	VLF10040T-150M3R1
22	±20%	100	0.05	2.5	445-3564-1-ND	1.91	1.70	1.49	445-3564-2-ND	500	370.56	VLF10040T-220M2R5
33	±20%	100	0.08	2.1	445-3565-1-ND	1.91	1.70	1.49	445-3565-2-ND	500	370.56	VLF10040T-330M2R1
47	±20%	100	0.108	1.7	445-3566-1-ND	1.91	1.70	1.49	445-3566-2-ND	500	370.56	VLF10040T-470M1R7
68	±20%	100	0.155	1.4	445-3567-1-ND	1.91	1.70	1.49	445-3567-2-ND	500	370.56	VLF10040T-680M1R4
100	±20%	100	0.216	1.2	445-3568-1-ND	1.91	1.70	1.49	445-3568-2-ND	500	370.56	VLF10040T-101M1R2
150	±20%	100	0.343	0.99	445-3569-1-ND	1.91	1.70	1.49	445-3569-2-ND	500	370.56	VLF10040T-151MR99
220	±20%	100	0.467	0.81	445-3570-1-ND	1.91	1.70	1.49	445-3570-2-ND	500	370.56	VLF10040T-151MR99
330	±20%	100	0.757	0.67	445-3571-1-ND	1.91	1.70	1.49	445-3571-2-ND	500	370.56	VLF10040T-331MR67
Fig. 17 — Série VLF10045												
1.0	±30%	100	0.0046	10	445-3572-1-ND	1.91	1.70	1.49	445-3572-2-ND	500	370.56	VLF10045T-1R0N100
1.5	±30%	100	0.0057	9	445-3573-1-ND	2.10	1.87	1.64	445-3573-2-ND	500	407.83	VLF10045T-1R5N9R0
2.2	±30%	100	0.0085	7.4	445-3574-1-ND	2.10	1.87	1.64	445-3574-2-ND	500	407.83	VLF10045T-2R2N7R4
3.3	±30%	100	0.0097	6.9	445-3575-1-ND	2.10	1.87	1.64	445-3575-2-ND	500	407.83	VLF10045T-3R3N6R9
4.7	±30%	100	0.0125	6.1	445-3576-1-ND	2.10	1.87	1.64	445-3576-2-ND	500	407.83	VLF10045T-4R7N6R1
6.8	±30%	100	0.0178	5.1	445-3577-1-ND	2.10	1.87	1.64	445-3577-2-ND	500	407.83	VLF10045T-6R8N5R1
10	±20%	100	0.025	4.3	445-3578-1-ND	2.10	1.87	1.64	445-3578-2-ND	500	407.83	VLF10045T-100M4R3
15	±20%	100	0.0373	3.5	445-3579-1-ND	2.10	1.87	1.64	445-3579-2-ND	500	407.83	VLF10045T-150M3R5
22	±20%	100	0.0495	2.8	445-3580-1-ND	2.10	1.87	1.64	445-3580-2-ND	500	407.83	VLF10045T-220M2R8
33	±20%	100	0.0701	2.3	445-3581-1-ND	2.10	1.87	1.64	445-3581-2-ND	500	407.83	VLF10045T-330M2R3
47	±20%	100	0.0976	1.9	445-3582-1-ND	2.10	1.87	1.64	445-3582-2-ND	500	407.83	VLF10045T-470M1R9
68	±20%	100	0.158	1.6	445-3583-1-ND	2.10	1.87	1.64	445-3583-2-ND	500	407.83	VLF10045T-680M1R6
100	±20%	100	0.217	1.3	445-3584-1-ND	2.10	1.87	1.64	445-3584-2-ND	500	407.83	VLF10045T-101M1R3
150	±20%	100	0.306	1.1	445-3585-1-ND	2.10	1.87	1.64	445-3585-2-ND	500	407.83	VLF10045T-151M1R1
220	±20%	100	0.434	0.9	445-3586-1-ND	2.10	1.87	1.64	445-3586-2-ND	500	407.83	VLF10045T-221MR90
330	±20%	100	0.721	0.7	445-3587-1-ND	2.10	1.87	1.64	445-3587-2-ND	500	407.83	VLF10045T-331MR70
Fig. 18 — Série VLF12060												
1.8	±30%	100	0.0036	12	445-3588-1-ND	2.48	2.21	1.93	445-3588-2-ND	500	481.94	VLF12060T-1R8N120
2.7	±30%	100	0.0053	10	445-3589-1-ND	2.48	2.21	1.93	445-3589-2-ND	500	481.94	VLF12060T-2R7N100
3.9	±30%	100	0.0070	9	445-3590-1-ND	2.48	2.21	1.93	445-3590-2-ND	500	481.94	VLF12060T-3R9N9R0
4.7	±30%	100	0.0096									